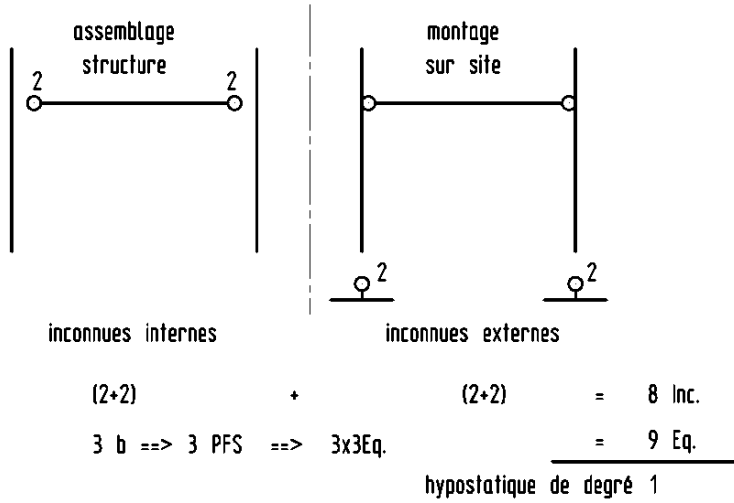


"Éléments" de correction:

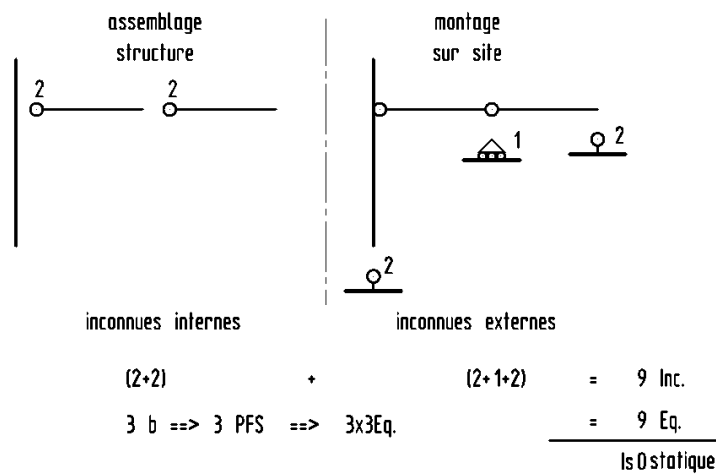
Q1.... la réponse est dans le texte qui précède la question !

Q2.

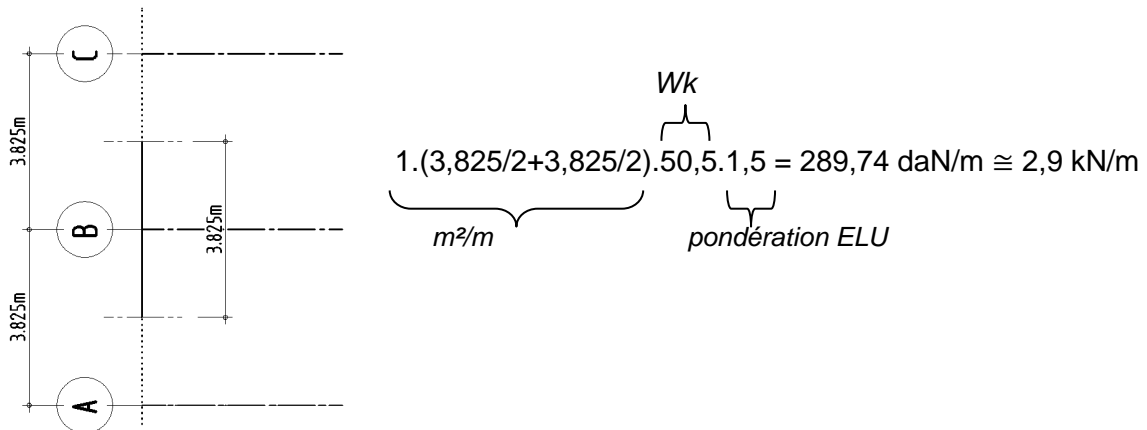


La poutre au vent doit donc bloquer 1 degré de liberté.

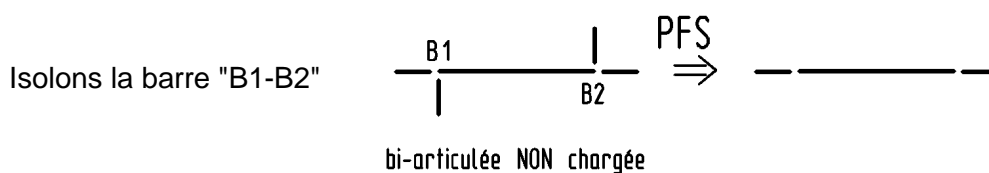
Q3.



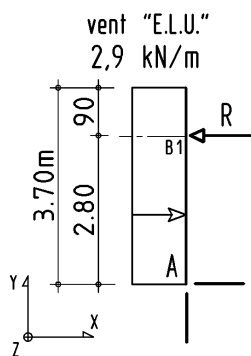
Q4.



Q5.

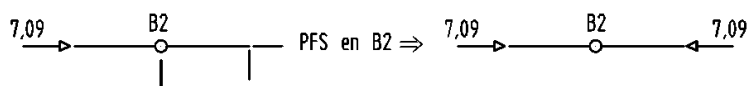


Isolons le panneau. PFS en A:



$$M_{Az} = 0 \implies R = 3,7^2/2 \cdot 2,9/2,8 = 7,09 \text{ kN}$$

Isolons "B<sub>1</sub>-B<sub>2</sub>" + "B<sub>2</sub>-B<sub>3</sub>".



Q6.

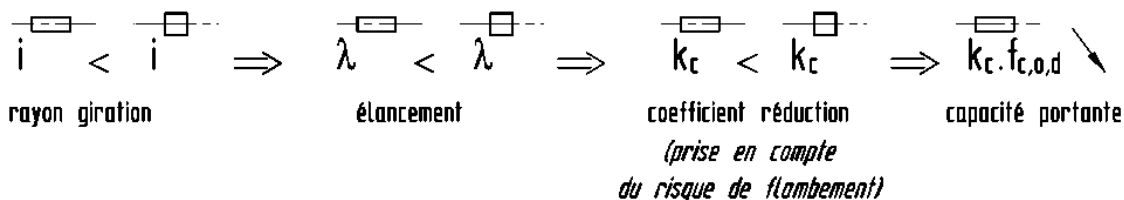
L'effort maxi est  $N_{\text{sis,Ed}} = 23,5 \text{ kN} \implies \sigma_{c,0,d} = 23,5 \cdot 10^{-3} / 0,14^2 = 1,2 \text{ MPa} < 17 \text{ MPa}$  (vérifié!)

Q7.

La différence de capacité portante est liée à la différence de longueur de flambement.

Q8.

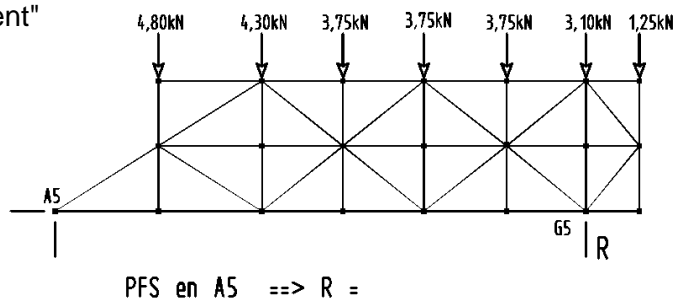
La sensibilité au flambement dépend de l'élançement de la barre  $\lambda = L_{cr}/i$   
A longueur de flambement égale,



Ici, il faut donc reprendre le calcul.

Q9.

Isolons la "poutre au vent"

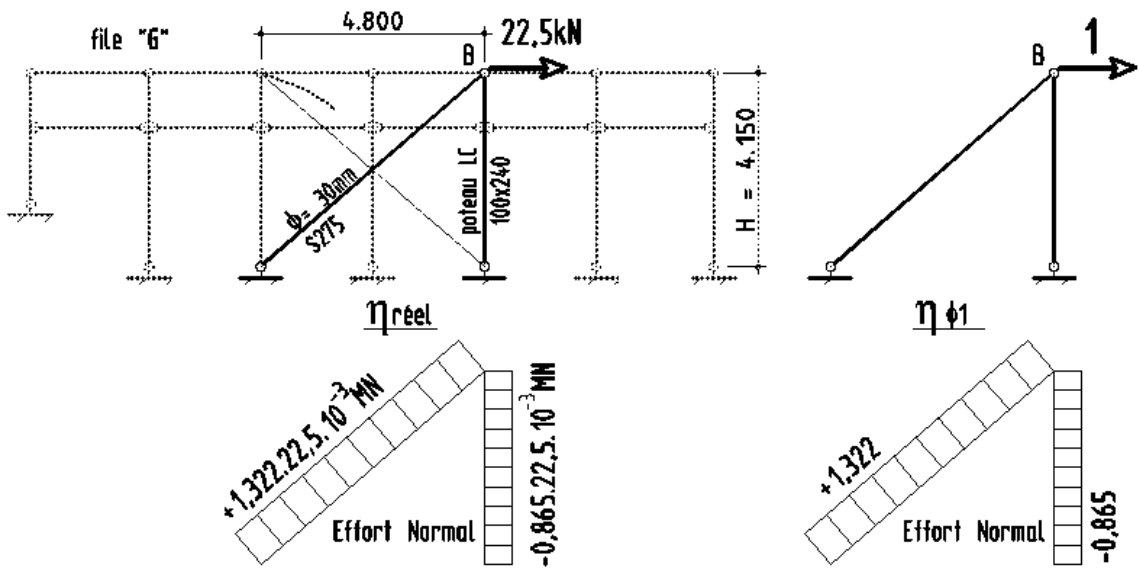


$$R = (3,825 \cdot 4,8 + 7,65 \cdot 4,3 + 10,85 \cdot 3,75 + 13,65 \cdot 3,75 + 16,72 \cdot 3,75 + 19,65 \cdot 3,1 + 21,625 \cdot 1,25) / 19,69 = 14,92 \text{ kN}$$

Q10.

L'élançement de la barre est tel (faible rayon de giration compte tenu de la longueur de flambement) qu'elle va "flamber" sous l'effort de compression (ne reprendra plus d'effort).

Q11.



$$1. \Delta_H^{G_5} = \int_{str} \frac{N(x)^{réel} \cdot N(x)^{\phi 1}}{E \cdot A} \cdot dx$$

$$\Delta_H^{G_5} = \frac{1}{2,1 \cdot 10^5 \cdot \pi \cdot \frac{0,03^2}{4}} \left( \begin{array}{c} +1,322 \cdot 22,5 \cdot 10^{-3} \text{ MN} \\ \times \\ 6,345 \text{ m} \end{array} \right) \times \begin{array}{c} +1,322 \\ \times \\ 4,15 \text{ m} \end{array} + \frac{1}{1,16 \cdot 10^4 \cdot 0,10,24} \left( \begin{array}{c} -0,865 \cdot 22,5 \cdot 10^{-3} \text{ MN} \\ \times \\ 4,15 \text{ m} \end{array} \right) \times \begin{array}{c} -0,865 \\ \times \\ 4,15 \text{ m} \end{array}$$

$$\Delta_H^{G_5} = \frac{6,345 \cdot 1,322 \cdot 22,5 \cdot 10^{-3} \cdot 1,322}{2,1 \cdot 10^5 \cdot \pi \cdot \frac{0,03^2}{4}} + \frac{4,15 \cdot (-0,865 \cdot 22,5 \cdot 10^{-3}) \cdot (-0,865)}{1,16 \cdot 10^4 \cdot 0,10,24} = 1,705 \cdot 10^{-3} + 0,251 \cdot 10^{-3} \text{ m}$$

$$\Delta_H^{G_5} = 1,956 \text{ mm}$$

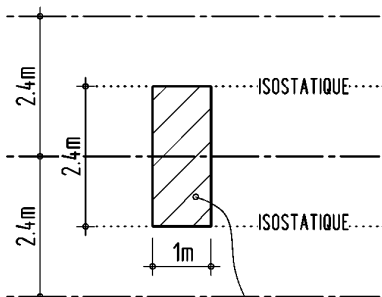
$$\Delta_H^{G_5} \cong 2 \text{ mm} < \Delta_H^{lim} = 4150/500 = 8,3 \text{ mm} : \text{vérifié!}$$

Q12.

$$N_{t,Rd} = N_{pl,Rd} = A \cdot \frac{f_y}{\gamma_{Mo}} = \pi \cdot \frac{0,03^2}{4} \cdot \frac{275}{1} = 0,194 \text{ MN} \quad N_{Ed} = 1,322 \cdot 72 = 95,2 \text{ kN}$$

$$\text{Taux de travail} = \frac{N_{Ed}}{N_{t,Rd}} = \frac{95,2}{194} = 49\% < 100\% \text{ vérifié!}$$

Q13.



Charges surfaciques:

Permanent G = 0,6 kN/m<sup>2</sup>

Variables S = 1,71 kN/m<sup>2</sup>

Charges linéiques:

Permanent g = 2,4 \cdot 0,6 + 1,0 \cdot 12,0 \cdot 52,4,4 = 1,72 kN/m

Variables s = 2,4 \cdot 1,71 = 4,1 kN/m

Q14.

2,4m<sup>2</sup>/m panne<sup>3</sup>

$$v_{inst}(s) = \frac{5,5,15,10^{-3},7,43^4}{384,1,16,10^4 \cdot \frac{0,12,0,52^3}{12}} = 12,5 \cdot 10^{-3} m = 12,5 mm < v_{inst,Q}^{lim} = \frac{L}{300} = \frac{7430}{300} = 24,7 mm \text{ Vérifié!}$$

Q15.

$$v_{net,fin} = v_{inst}(g) \cdot (1 + k_{def}) + v_{inst}(g) = 12,5 \cdot \frac{2,05}{5,15} \cdot (1 + 0,8) + 12,5 = 21,5 mm$$

$$< v_{net,fin}^{lim} = \frac{L}{200} = \frac{7430}{200} = 37,15 mm \text{ vérifié!}$$

Q16.

Ici, neige à  $H < 1000m$

$$\implies \psi_2 = 0 \implies v_{inst}(s) \cdot (1 + \psi_2 \cdot k_{def}) = v_{inst}(s) \cdot (1 + 0 \cdot k_{def}) = v_{inst}(s)$$

Q17.

$$\tau_d = 1,5 \cdot \frac{V_{Ed}}{A} = \frac{1,5,10,5,10^{-3},7,43}{2,0,12,0,52} = 0,94 \text{ MPa}$$

$$f_{v,d} = k_{mod} \cdot \frac{f_{v,k}}{\gamma_M} = 0,9,2,7/1,25 = 1,94 \text{ MPa}$$

$$\text{Taux de travail} = \frac{\tau_d}{f_{v,d}} = \frac{0,94}{1,94} = 49,2\% < 100\% \text{ vérifié!}$$

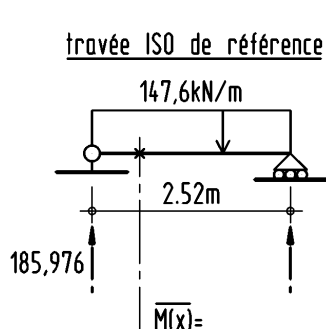
Q18.

$$\sigma_{md} = \frac{6 \cdot M_{Ed}}{bh^2} = \frac{6,10,5,10^{-3},7,43^2}{8,0,12,0,52^2} = 13,4 \text{ MPa}$$

$$f_{md} = k_h \cdot k_{mod} \cdot \frac{f_{m,k}}{\gamma_M} = 1,014,0,9,24/1,25 = 17,52 \text{ MPa}$$

$$\text{Taux de travail} = \frac{\sigma_{md}}{f_{md}} = \frac{13,4}{17,52} = 76,5\% < 100\% \text{ vérifié!}$$

Q19.



$$\bar{M}(x)^{iso} = -\left(-185,976x + \frac{x^2}{2} \cdot 147,6\right) = -73,8x^2 + 185,976x$$

$$\bar{M}(x)^{hyper} = \bar{M}(x)^{iso} + \bar{M}_g + \frac{\bar{M}_d - \bar{M}_g}{L} \cdot x$$

$$= -73,8x^2 + 185,976x - 125 + \frac{0 - (-125)}{2,52} \cdot x$$

$$\bar{M}(x)^{hyper} = -73,8x^2 + 235,579x - 125$$

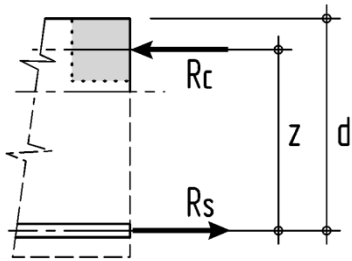
$$\bar{V}(x)^{hyper} = 147,6x - 235,579 \text{ s'annule pour } x_0 = \frac{235,579}{147,6} = 1,596 m$$

$$M_{max}^{S4} = -73,8(1,596)^2 + 235,579 \cdot 1,596 - 125 \cong 63 \text{ m.kN} \text{ donc peu différent de } 63,2 \text{ mkN}$$

Les charges amenées par les pannes ont peu d'influence sur la valeur du moment maxi en "travée S4".

Q20.

$$d^{réel} = 343 mm < 0,9h = 0,9 \cdot 400 = 360 mm$$



$$d \searrow \Rightarrow z \searrow \Rightarrow A_{s,cal} = \frac{M}{z \cdot \sigma_{st}} \nearrow$$

Il faut donc recalculer que  $A_{s,cal}$  reste inférieure à  $A_{s,réelle}$  !

Q21.

$$\mu_u = \frac{M_u}{b_w \cdot d^2 \cdot f_{cd}} = \frac{113,9 \cdot 10^{-3}}{0,2 \cdot 0,343^2 \cdot \frac{25}{1,5}} = 0,2904 < 0,372 \Rightarrow \sigma_{st} = f_{yd}$$

$$\alpha_u = 1,25(1 - \sqrt{1 - 2\mu_u}) = 1,25(1 - \sqrt{1 - 2 \cdot 0,2904}) = 0,4407$$

(Hauteur de béton comprimé :  $\chi_u = \alpha_u \cdot d = 0,4407 \cdot 343 \cong 151 \text{ mm}$ )

$$z_u = d(1 - 0,4 \cdot \alpha_u) = 343(1 - 0,4 \cdot 0,4407) = 282,5 \text{ mm} (< 303,75 \text{ du tableau obtenu avec } d=0,9h)$$

$$A_{s,cal} = \frac{M_u}{z \cdot f_{yd}} = \frac{113,9 \cdot 10^{-3}}{0,2825 \cdot \frac{500}{1,15}} = 9,27 \cdot 10^{-4} \text{ m}^2 = 9,27 \text{ cm}^2$$

$9,27 \text{ cm}^2 > 8,62 \text{ cm}^2$  (7,5% supérieur à la valeur obtenue avec  $d=0,9h$ . Confirme la nécessité de recalculer...)

$9,27 \text{ cm}^2 \cong 6HA14 = 9,24 \text{ cm}^2$  (0,3% supérieur, mais écart acceptable)